

## طراحی، ساخت و آزمایش متمرکزکننده نمایی به منظور اندازه‌گیری ویژگی‌های فرacoتوی محصولات کشاورزی

رسول معمار دستجردی<sup>۱</sup> - سعید مینایی<sup>۲\*</sup> - محمدهدادی خوش تقاضا<sup>۳</sup>

تاریخ دریافت: ۹۰/۸/۱۸

تاریخ پذیرش: ۹۱/۱/۲۸

### چکیده

آزمون فرacoتوی یکی از روش‌هایی است که از آن می‌توان برای ارزیابی کیفیت محصولات کشاورزی استفاده کرد. تراکندهای مورد استفاده در آزمون‌های غیر مخبر فرacoتوی، صنعتی هستند و از آنجایی که محصولات کشاورزی تضعیف کننده شدید امواج فرacoتوی می‌باشند، نمی‌توان از این تراکندها در کشاورزی استفاده کرد و باید تعییراتی در آن‌ها ایجاد نمود. این کار با استفاده از هورن یا متمرکزکننده انجام می‌گیرد که وظیفه‌ی آن تمرکز انرژی در سطح کوچک و در فاصله‌ی معینی از تراکنده است. در این مقاله طراحی هورن نمایی با دو روش نظری و رایانه‌ای انجام شد و سپس ساخت و آزمایش آن برای اندازه‌گیری ویژگی‌های فرacoتوی محصولات کشاورزی ارائه شد. بررسی‌های اولیه نشان داد که می‌توان با استفاده از روش رایانه‌ای هورن‌های بسیار پیچیده را با دقت بالای طراحی کرد. در تحلیل تأثیر تعداد المان‌ها بر بسامد طبیعی هورن معلوم شد که در تعداد المان‌های کم، تحلیل با خط‌های همراه است و تا جایی که بسامد طبیعی هورن تقریباً ثابت شود باید تعداد المان‌ها را زیاد کرد که در این تحقیق تعداد المان لازم ۳۰۰ در نظر گرفته شد. همچنین مقایسه بین روش نظری و رایانه‌ای نشان داد که روش رایانه‌ای خطای بسیار کمی (کمتر از یک درصد) دارد و نیاز به حل معادلات بسیار پیچیده ندارد. طبق بررسی‌های آماری، اثر ضخامت محصول (سیب‌زمینی و هویج) بر سرعت امواج فرacoتوی در کاوشگر دارای هورن معنی‌دار نبود. در حالی که در کاوشگر بدون هورن با تعییر ضخامت نمونه، سرعت به طور معنی‌داری تعییر کرد که مطلوب نیست. بنابراین می‌توان گفت که تراکنده دارای هورن برای انجام آزمون‌های فرacoتوی مناسب‌تر است.

**واژه‌های کلیدی:** آزمون غیرمخرب، طراحی رایانه‌ای، فرacoتو، هورن نمایی

### مقدمه

پژوهشکار و صنعت، برای اندازه‌گیری ویژگی‌های میوه مناسب نیستند؛ چون میوه‌ها دارای بافتی غیر همگن بوده و همچنین تضعیف کننده بسیار قوی امواج با بسامد بالا هستند. افزون بر آن اندازه‌گیری ویژگی‌های فرacoتو در بسامدهای کم بسیار مشکل است. از این رو در برخی تحقیقات نیاز به برش میوه به طور یکنواخت برای تماس آن با سطح تراکنده<sup>۱</sup> است (Zaki Dizaji *et al.*, 2009). آزمون فرacoتو در محدوده‌ی بسامدی ۲۰ kHz تا ۱۰۰ MHz صورت می‌گیرد. برای آزمون فلزات از بسامد ۲۰ MHz تا ۵۰۰ kHz استفاده می‌شود که این بازه برای محصولات کشاورزی مناسب نیست. تحقیقات نشان می‌دهد محدوده‌ی ۲۰ kHz تا ۱ MHz ۱ محدوده‌ای مناسب برای مواد کشاورزی می‌باشد (Sarker and Wolfe, 1983; Mizrahi *et al.*, 1989; Kim *et al.*, 2004).

نخستین تلاش‌ها در دهه ۱۹۸۰ در این زمینه انجام گرفت که

در طی سال‌های اخیر توجه بسیاری از پژوهشگران جهان به تعیین کیفیت محصولات کشاورزی با روش‌های غیرمخرب معطوف شده است که محور اصلی تحقیقات پس از برداشت میوه‌ها و محصولات زراعی شده و حجم تحقیقات در این زمینه به صورت نمایی رو به افزایش است (Butz *et al.*, 2005). روش فرacoتو روشنی است که به طور وسیعی در تحقیقات پژوهشکاری و مواد مهندسی مورد استفاده قرار گرفته است، اما پژوهش در زمینه بکارگیری آن برای تعیین رسیدگی و کیفیت محصولات کشاورزی بسیار اندک می‌باشد (Hedric *et al.*, 2005).

مدل‌های با هندسه پیچیده را امکان‌پذیر می‌سازد که با استفاده از روش حل دقیق غالباً غیر ممکن است. روش تجربی در طراحی هورن هنگامی به کار می‌رود که دستگاه فراصوت مورد استفاده قابلیت تنظیم و تولید بسامدها و توان‌های مختلف را داشته باشد. بسامد ارتعاش از آنالیز مodal و با استفاده از روش‌های لیزری و شتاب سنج قابل اندازه‌گیری است. مهم‌ترین مطلب در طراحی هورن، تعیین مود ارتعاشی (طولی، خمی و پیچشی) است که هورن می‌خواهد در آن ارتعاش کند. افزون بر آن، بسامد طبیعی، اندازه بزرگ‌ترین قطر، طول، جنس و شکل پروفیل نیز باید در طراحی هورن در نظر گرفته شود. برای ارزیابی پارامترهای فراصوتی در روش عبوری مودهای طولی هورن مهم می‌باشد (Julian, 1965). در حقیقت مود طولی هورن باید با بسامد مرکزی تراکنده یکسان باشد تا بتوان پس از نصب روی تراکنده موج فراصوتی را از خود عبور دهد. در این پژوهش ابتدا روش تحلیل المان محدود به عنوان روشی مناسب انتخاب گردید، سپس هورن نمایی با روش نظری طراحی شده و مودهای طولی آن با روش اجزاء محدود استخراج شد. همچنین پس از ساخت، آزمونی روی محصولات با کاوشگر<sup>۱</sup>‌های دارای هورن و بدون هورن به منظور مقایسه آن‌ها در اندازه‌گیری زمان پرواز و سرعت امواج عوری، انجام شد.

### انتخاب روش اجزاء محدود

برای اطمینان از درستی تحلیل‌ها در مورد شکل مودهای ارتعاشی، آنالیز مodal روی هورن ساخته شده توسط ژاو و همکاران انجام گرفت. این پژوهشگران برای یافتن مودهای ارتعاشی، از روش تجربی استفاده کردند (Zhou *et al.*, 2002). آنها از هورن مخروطی با قطر ابتدایی ۳۰ mm و قطر انتهایی ۱۵mm و طول ۱۵۰ mm در تحقیق‌شان استفاده کردند. هورن مورد نظر بعد از مدل‌سازی، مش‌بندی شده و آنالیز مodal روی آن انجام گرفت. جنس هورن مطابق با مرجع یادشده، فولاد در نظر گرفته شد. ثابت‌های ماده عبارتند از: چگالی  $\rho = 7880 \text{ kgm}^{-3}$ ، مدول الاستیستیته  $E = 2 \times 10^{11} \text{ Pa}$  و ضریب پواسون  $\nu = 0.33$ .

برای تحلیل مodal در این قسمت از نرم‌افزار المان محدود ANSYS12 استفاده شد. در هر تحلیل FEM، مراحل انتخاب المان، مدل‌سازی هندسی، تعریف خواص ماده، شبکه بندي، شرایط مرزی، انتخاب نوع تحلیل و انتخاب حل گر انجام می‌گیرد. برای پیدا کردن مودهای طولی می‌توان از مدل‌های دو بعدی و سه بعدی استفاده کرد که در پژوهش حاضر، هر دو مورد بررسی قرار گرفت. از المان 92 TETRA با شکل SOLID برای تحلیل مodal مدل سه بعدی و المان PLANE42 برای مدل دو بعدی به کار برده شد. همچنین حل گر Lanczos Block User's Guide مورد استفاده قرار گرفت.

مشکلاتی در نفوذ امواج فراصوت در میوه و سبزی‌ها را آشکار ساخت دیگری نشان داده شد که چنانچه از بسامدهای در محدودی نیم تا یک مگاهرتر برای سبزه‌های سبزه استفاده شود، تضعیف بسیار زیادی رخ می‌دهد (Sarker and Wolfe, 1983). میزراک و همکاران در سال ۱۹۸۹ ابزاری فراصوت با بسامد کم و توان بالا ساختند و از آن برای اندازه‌گیری ویژگی‌های فراصوت (ضریب تضعیف و سرعت امواج فراصوت) بخشی از بافت میوه‌ای آوکادو استفاده کردند (Mizrahi *et al.*, 1989). بر اساس گزارش‌های ذکری دیزجی و همکاران، مشخص شد که برای اندازه‌گیری ویژگی‌های سیاری از میوه‌ها نیاز به برش زدن آن‌ها می‌باشد (Zaki Dizaji *et al.*, 2009). بنابراین باید تراکندهای نوع صنعتی موجود به‌گونه‌ای تغییر داده شود که قابلیت استفاده برای میوه‌ها به صورت غیرمکرر را داشته باشند.

وگرایی پرتو فراصوت باعث کاهش شدت صوت (انرژی بر واحد زمان) می‌گردد. همچنین با افزایش فاصله تراکنده، وگرایی پرتو افزایش می‌یابد. در حقیقت وگرایی باعث کاهش شدت پرتوهای انتقالی و انکاسی می‌گردد. پرتو فراصوت را می‌توان متمنکر ساخت. این کار با تمرکز انرژی در سطح کوچک و در فاصله‌ی معینی از تراکنده انجام می‌گیرد. پرتو متمنکر شده در مقایسه با پرتو متمنکر نشده، قدرت تشخیصی بالاتری دارد. هورن یا متمنکر کننده، واسط ماشین کاری با فراصوت به کار می‌رond و وظیفه‌ی آن‌ها افزایش دامنه‌ی ارتعاشات ابزار و تطابق مرتش کننده با بار صوتی است. در پژوهشکی نیز از متمنکر ساختن برای بهبود تکنیک پیزی‌سنجی جانبی تراکنده استفاده می‌شود. این کار با استفاده از عدسی‌های صوتی میسر می‌گردد که کاری شبیه به عدسی‌های نوری انجام می‌دهند. عدسی‌های صوتی از پلی استیرن، نایلون یا آلومینیوم ساخته می‌شوند و در جلوی کریستال پیزوالکترویک نصب می‌گردد (Hedrick *et al.*, 2005). در این مقاله طراحی هورن نمایی، ساخت و آزمایش آن برای اندازه‌گیری خواص فراصوتی محصولات کشاورزی مورد بحث قرار می‌گیرد.

## مواد و روش‌ها

### تحقیق نظری

به طور کلی برای طراحی هورن، سه روش حل تحلیلی دقیق، حل عددی و روش تجربی وجود دارد (Graham *et al.*, 1999). در حل دقیق همانطور که از نام آن پیداست، به محاسبه‌ی دقیق پارامتری معادله دیفرانسیلی حاکم بر هورن پرداخته می‌شود. در حالی که در روش عددی، حل تقریبی و عددی این مسائل مورد نظر است. روش اجزاء محدود نیز یکی از روش‌های حل عددی می‌باشد که تحلیل

طولی kHz ۳۳/۷۶۹ است. با توجه به شکل ۱ اولین مود طولی هورن مخروطی توسط ژاو و همکاران ۱۸/۱ kHz گزارش داده شده است که نشان می‌دهد، استفاده از این روش نیز در مقایسه با روش تجربی خطای کمی دارد و در مقایسه با مدل سه بعدی میزان محاسبات آن نیز کمتر است. با توجه به این که برای طراحی هورن مخصوص میوه نیاز به مود طولی است، در طراحی هورن نظر از این روش استفاده شد.

#### طراحی نظری هورن نمایی

برای هورن نمایی ناحیه تغییرات به صورت زیر است:

$$A_x = A_0 e^{-\frac{x}{R}} \quad (1)$$

که در آن  $A_x$ ،  $A_0$  و  $R$  به ترتیب سطح مقطع هورن به فاصله  $x$  از سطح مقطع بزرگ، سطح مقطع بزرگ، فاصله مقطع مورد نظر از مقطع بزرگ در طول هورن و ثابت مخروطی شدن است. شکل ۳ نشان دهنده‌ی یک هورن نمایی است (Markov, 1966).

).(Guide)

#### تحلیل با مدل‌سازی سه بعدی

نتایج حاصل از آنالیز مودال در شکل ۱ نشان داده شده است. مقایسات انجام شده با نتایج ژاو و همکاران مشخص کرد که اولین مود طولی هورن مخروطی به صورت آزمایشگاهی ۱۸/۱ kHz بوده و با استفاده از روش المان محدود ۱۷/۵۱۷ kHz به دست آمد. می‌توان گفت، تطابق خوبی میان روند داده‌های تحلیل شده با استفاده از روش اجزای محدود با نتایج تجربی آن‌ها وجود دارد و حداقل خطای درصد است و تحلیل از لحاظ مود قابل اطمینان است.

#### مدل‌سازی دو بعدی

برای مدل‌سازی دو بعدی همانطور که در شکل ۲ آمده است، مخروط مورد استفاده توسط ژاو و همکاران با استفاده از المان Plane42 مشبندی شد و سپس آنالیز مودال انجام گرفت. در این روش فقط می‌توان مودهای متقارن (طولی) را استخراج کرد. نتایج حاصل نشان داد که اولین مود طولی ۱۷/۵۲ kHz و دومین مود

(kHz) طولی Longitudinal	(kHz) پیچنی Torsional	(kHz) مختس Flexural	(kHz) طولی Longitudinal	(kHz) پیچنی Torsional	(kHz) مختس Flexural
17.517	11.641	4.314	17.7	11.7	4.01
33.741	21.429	10.713	34.8	21.9	10.5
	31.380	18.919		32.4	18.7
41.553	28.168		42.9	32.2	28.2
	37.991			37	48

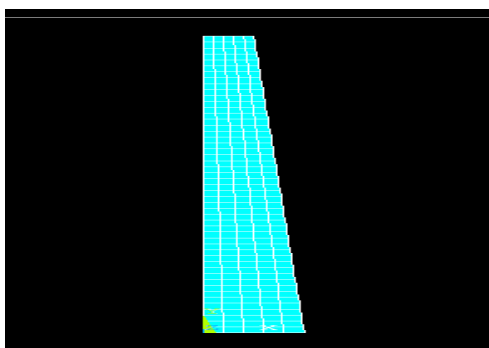
هورن نمایی Exponential hoen	هورن مخروطی Conical horn
18.1	12.1
	22.1
34.8	32.6
	32.6
42.9	37
	38.3
	43.1
	49.1

ب (b)

الف (a)

شکل ۱ - فرکانس‌های طبیعی هورن مخروطی برای مودهای ارتعاشی مختلف، (الف) ژاو و همکاران، (ب) اجزاء محدود (پژوهش حاضر)

Fig. 1. Conical horn Resonance frequencies for different vibrational modes, (a) Zhoa *et al.*, 2002, (b) finite element (This study)



شکل ۲ - مشبندی هورن مخروطی با المان Plane42 (مخروط از دوران سطح فوق حول محور عمودی حاصل می‌شود.)

Fig. 2. Conical horn meshing with Plane42 (The cone is formed by rotation of this area around the vertical axis.)

$$\beta = \frac{\omega}{c} \left( \frac{\ln N}{\sqrt{\pi^2 + (\ln N)^2}} \right) \quad (6)$$

طول هورن  $\text{L}$  بر اساس نیم موج مقدار  $n$  برابر با یک یا تمام موج مقدار  $n$  برابر با دو از رابطه‌ی (۶) به دست می‌آید:

$$l = \frac{n}{2} \cdot \lambda \quad (7)$$

برای هورن نمایی مقدار  $\text{L}$  برابر است با:

$$l = \frac{nC}{2f} \sqrt{1 + \left( \frac{\ln N}{\pi} \right)^2} \quad (8)$$

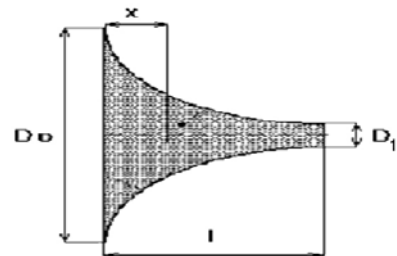
موقعیت گره ارتعاشی  $X_0$  عبارت است از:

$$u = 0 \Rightarrow x_0 = \frac{l}{\pi} \arccot \left( \frac{1}{\pi} \ln N \right) \quad (9)$$

معادله‌ی دامنه تنش در طول هورن مطابق رابطه‌ی (۱۱) می‌باشد:

$$\sigma = -Eu_0 e^{\beta x} \left( \frac{\beta^2 v_l}{\omega} + \frac{\omega}{v_l} \right) \sin \frac{\omega x}{v_l} \quad (10)$$

شکل ۴ تغییرات دامنه ارتعاش، دامنه تنش و موقعیت گره ارتعاشی در طول هورن با مقطع دایره‌ای به طول  $l$  را نشان می‌دهد.



شکل ۳- طرحواره هورن نمایی

Fig. 3. Schematic of exponential horn

بر اساس معادله‌ی حاکم بر میله‌های غیر یکنواخت می‌توان نوشت (Merkulov, 1957):

$$\frac{d^2 u}{dx^2} + \frac{1}{A} \frac{dA}{dx} \frac{du}{dx} + k^2 u = 0 \quad (2)$$

$$\frac{dA}{dx} = -2\beta A_0 \exp(-2\beta x) = -2\beta A$$

حل کلی معادله‌ی بالا با در نظر گرفتن شرایط مرزی به صورت زیر است:

$$u = u_0 \left( \cos \frac{\omega x}{v_l} - \beta \frac{v}{\omega} \sin \frac{\omega x}{v_l} \right) e^{\beta x} \quad (3)$$

که در آن:

$$v_l = \frac{c}{\sqrt{1 - \frac{\beta^2 c^2}{\omega^2}}} \quad (4)$$

در رابطه‌ی:

۴: سرعت صوت در ماده‌ی بینهایت

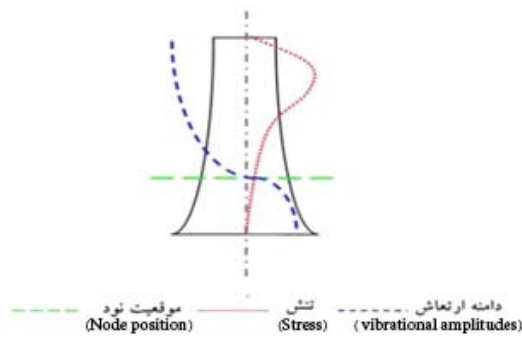
۵: سرعت معادل انتشار صوت در هورن

ویستر در بررسی معادلات هورن نمایی به این نتیجه رسید که هنگامی که تغییر سطح مقطع ناگهانی نباشد انرژی صوتی به سمت تراکذیر نشده و در سر هورن متمرکز می‌شود ولی اگر تغییر سطح مقطع ناگهانی باشد موج‌های فرماحتی به سمت تراکذیر بر می‌گردند و باعث افت انرژی (افزایش دمای تراکذیر) و در نتیجه کاهش سرعت ارتعاش سر هورن می‌گردد (Webster, 1919). بنابراین در طراحی هورن باید از تغییر ناگهانی سطح جلوگیری به عمل آید و رابطه  $\frac{\omega}{c} \beta$  باید برای ضریب مخروطی شدن برقرار باشد.

ضریب تقویت هورن به صورت زیر تعریف می‌شود:

$$N = \sqrt{\frac{A_0}{A_1}} \quad (5)$$

اگر مقدار ضریب تقویت ( $N$ )، بسامد ارتعاشات ( $f$ )، و سرعت صوت در ماده ( $c$ ) معلوم باشد، آنگاه از رابطه‌ی (۶) به دست می‌آید:



شکل ۴- موقعیت گره، پروفیل تنش، و دامنه ارتعاش در هورن نمایی

Fig. 4. Node position, stress profile, and vibrational amplitudes in the exponential horn

#### محاسبه ابعاد هورن طراحی شده برای تراکذیر

هنگامی که یک موج از محیطی به محیط دیگر می‌رود، مقداری از آن گذر می‌کند، مقداری بازتابیده می‌شود و مقداری نیز جذب می‌گردد. ارتباط میان موج اولیه و موج برگشته از معادله‌ی (۱۱) به دست می‌آید (Subramanian, 2006).

$$E_p = E_i \left[ \frac{\rho_1 c_1 - \rho_2 c_2}{\rho_1 c_1 + \rho_2 c_2} \right]^2 \quad (11)$$

در اینجا،  $E_p$ ، انرژی پرتو برگشته،  $E_i$ ، انرژی پرتو اولیه،  $\rho_1$  و  $\rho_2$  به ترتیب چگالی محیط اول و دوم و  $c_1$  و  $c_2$  به ترتیب

یک جفت تراگذر ۷۵ kHz در حالت بدون هورن و دارای هورن به عنوان فرستنده و گیرنده امواج فراصوت استفاده شد. کاوشگرهای روی سامانه نگهدارندهای سوار شدند که به آن‌ها امکان حرکت افقی، عمودی و زاویه‌دار را می‌داد (شکل ۶). داده‌های خروجی با برنامه نوشته شده در محیط MATLAB 2008 تحلیل و پارامترهای سرعت و زمان عبور سیگنال از محیط (زمان پرواز) استخراج شد. در آزمایش نخست هورن‌ها در محیط هوا روبروی یکدیگر قرار داده شدند و شکل سیگنال‌ها بررسی شد. همچنین آزمایش دیگری به منظور بررسی اثر ضخامت (۱۰، ۱۵، ۲۰ و ۲۵ میلی‌متر) بر سرعت امواج فراصوت و زمان پرواز در دو محیط سیبزیمینی و هویج در قالب طرح کاملاً تصادفی با پنج تکرار انجام گرفت. برای بررسی رابطه‌ی بین زمان پرواز و ضخامت از ضریب همبستگی پیرسون استفاده شد. این آزمایش برای دو نوع تراگذر دارای هورن و بدون هورن به‌طور جداگانه انجام شد.

از سیگنال‌های ارسالی و دریافتی به منظور استخراج زمان پرواز و از رابطه‌ی (۱۲) برای محاسبه سرعت استفاده گردید:

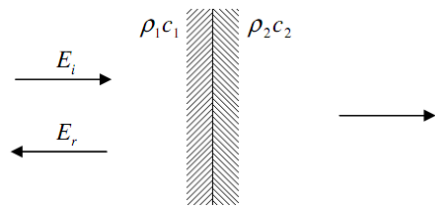
$$v = \frac{L}{TOF} \quad (12)$$

که در آن،  $v$ ، سرعت امواج فراصوت در میوه (m s<sup>-1</sup>)،  $L$  (m) و TOF (ms)، زمان پرواز امواج فراصوت (ms) می‌باشد (Rose, 2004).

## نتایج و بحث

برای اطمینان از این‌که هورن طراحی شده در بسامد مرکزی ۷۵ kHz دارای مود طولی است، از نرم‌افزار ANSYS12 کمک گرفته شد. همان‌گونه که گفته شد به‌دلیل شکل متقاضن هورن، مدل‌سازی دو بعدی مورد استفاده قرار گرفت. برای بررسی تأثیر تعداد المان بر جواب‌ها تعداد المان‌ها از ۵ تا ۶۰۰ انتخاب شد و با هریک از آن‌ها آنالیز انجام گرفت (شکل ۷). همانطور که در شکل نشان داده شده است با افزایش تعداد المان‌ها از ۳۰۰ به بالا تغییر چندانی در مود طولی مشاهده نمی‌شود. بنابراین تحلیل‌های بعدی برای کاهش حجم محاسبات با تعداد المان ۳۰۰ اجرا شد.

سرعت فراصوت در محیط اول و دوم می‌باشد (شکل ۵).



شکل ۵- بازگشت موج با تغییر محیط

Fig. 5. Wave return with medium change

برای انجام آزمایشات از تراگذر با بسامد مرکزی ۷۵ kHz ساخت شرکت Airmar استفاده شد. قطر ابتدایی هورن یعنی جایی که به تراگذر وصل می‌شود، بایستی از قطر تراگذر، بزرگتر و یا با آن مساوی باشد تا هوا با انتهای تراگذر در تماس نباشد. زیرا در همان قسمتی که هوا با تراگذر در تماس است تمام موج باز می‌گردد و انرژی فراصوتی تبدیل به‌گرما شده و هدر می‌رود. از طرفی قطر بزرگ هورن باید کمتر یا مساوی با  $\frac{\lambda}{4}$  باشد تا ارتعاشات جانبی زیاد نشود (Markov, 1966). با توجه به‌اینکه تراگذر انتخابی دارای قطر ۳۸ mm است، قطر اولیه هورن باید از آن بزرگتر باشد. بنابراین بزرگترین قطر هورن ۴۰ mm در نظر گرفته شد. همچنین برای تماس بهتر هورن با میوه، قطر کوچک هورن ۵ mm در نظر گرفته شد. جنس متمرکز کننده از الومینیوم در نظر گرفته شد که ویژگی‌های آن در جدول ۱ آمده است.

با استفاده از روابط (۱)، (۵)، (۶) و (۸) خواهیم داشت:

$$N = \frac{40}{5} = 8$$

$$\beta = \frac{\omega}{c} \left( \frac{\ln N}{\sqrt{\pi^2 + (\ln N)^2}} \right) \Rightarrow \beta = \frac{2\pi \times 75000}{5134} \left( \frac{\ln 8}{\sqrt{\pi^2 + (\ln 8)^2}} \right) = 50.6617$$

$$t = \frac{nc}{2f} \sqrt{1 + \left( \frac{\ln N}{\pi} \right)^2} = \frac{5134}{2 \times 75000} \sqrt{1 + \left( \frac{\ln 8}{\pi} \right)^2} = 0.0411$$

$$A_x = A_0 s^{-2\beta t} \Rightarrow A_x = 125.66 \times 10^{-5} s^{-101.32x}$$

## تجهیزات و آزمایش‌ها

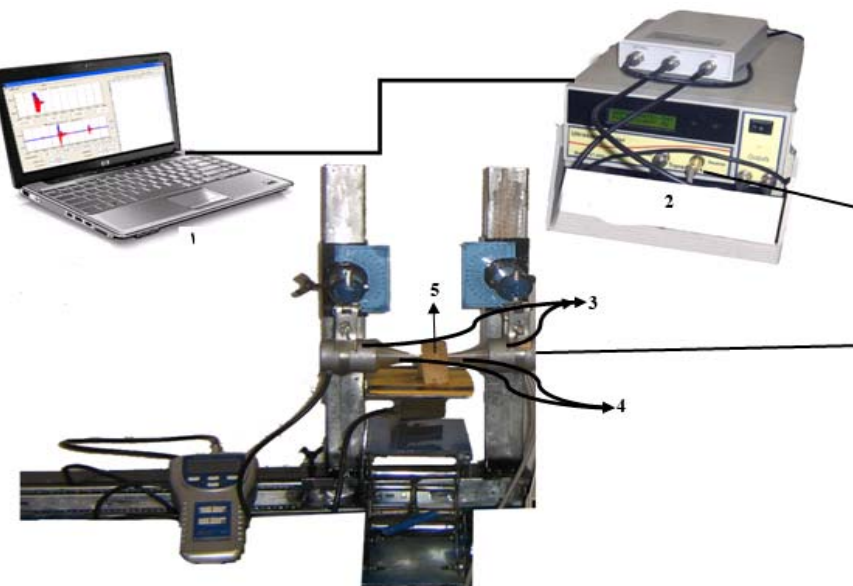
برای انجام آزمایش‌ها ابتدا دستگاه فرستنده و گیرنده امواج فراصوتی در دانشگاه تربیت مدرس تهران (سال ۱۳۹۰) ساخته شد. از

جدول ۱- مشخصات ماده استفاده شده برای ساخت هورن

Table 1. Properties of the material used for fabricating the horn

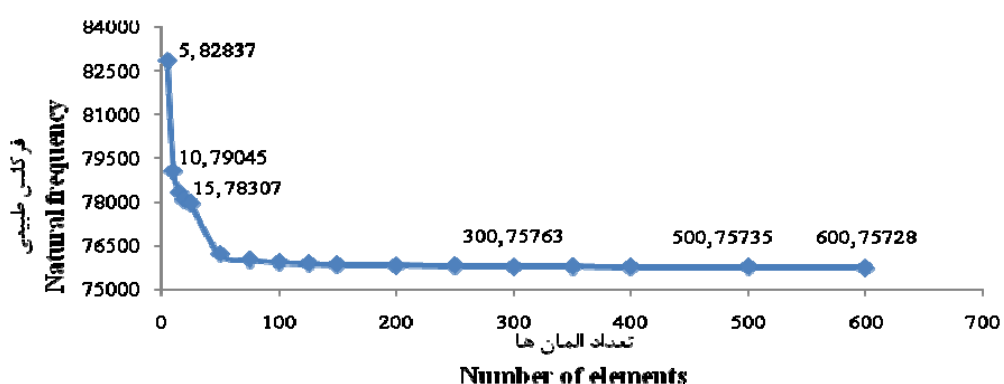
E (Pa)	$\rho$ (kg m <sup>-3</sup> )	c (m s <sup>-1</sup> )	$\lambda$ (m)	(Material)	جنس
$7.3 \times 10^{10}$	2770	5133.594	0.275	Aluminum	آلومینیوم

۱- زمان پرواز، زمانی است که پالس فراصوت از یک طرف میوه به طرف دیگر آن انتقال می‌یابد.



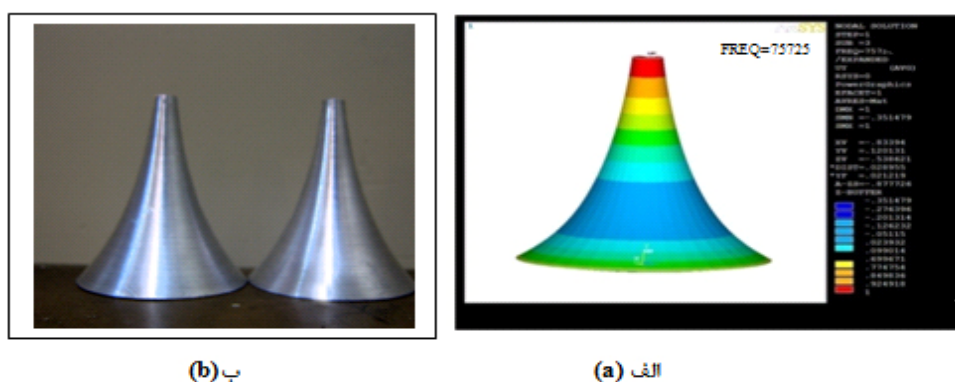
شکل ۶- سامانه اندازه‌گیری ویژگی‌های فرآصوتی میوه (۱- رایانه، ۲- فرستنده و گیرنده امواج فرآصوت، ۳- تراکنده، ۴- هورن، ۵- سیب زمینی)

**Fig. 6.** Ultrasonic system for measurement of fruit properties (1- Computer, 2- Ultrasonic pulser- receiver, 3- Transducer, 4- Horn, 5- Potato)



شکل ۷- تأثیر تعداد المان بر بسامد طبیعی هورن

**Fig. 7.** Effect of number of elements on the natural frequency of the horn



شکل ۸- (الف) مود طولی هورن نمایی، (ب) هورن ساخته شده

**Fig. 8.** (a) Longitudinal mode of the exponential horn, (b) The actual machined horn

یعنی در این حالت تمام موج بر می‌گردد و هیچ موجی وارد هوا نمی‌شود. با قرار دادن محیطی چگال (مانند هویج بین کاوشگرهای سیگنال دریافتی بهخوبی قابل مشاهده بود (شکل ۹).

**آزمون دوم: بررسی اثر ضخامت بر سرعت امواج فراصوت و زمان پرواز در حالت دارای هورن و بدون هورن**  
 مطابق رابطه‌ی ۱۳، انتظار آن است که با تغییر ضخامت نمونه، سرعت امواج فراصوت در محیط تغییر نکند ولی زمان پرواز افزایش یابد. نتایج نشان داد که در کاوشگر دارای هورن بین ضخامت‌های مختلف از نظر سرعت امواج فراصوتی در دو محیط سیبزمنی و هویج اختلاف غیرمعنی دار ( $P < 0.01$ ) بود (شکل ۱۰ و جدول ۳). همچین مشخص شد که در کاوشگر دارای هورن برای هر دو محصول با افزایش ضخامت، زمان پرواز به طور خطی افزایش می‌یابد و همستگی خوبی ( $R^2 = 0.996$ ) بین ضخامت نمونه و زمان پرواز وجود دارد. این یافته‌ها با نتایج سایر پژوهشگران همخوانی خوبی داشت. محققین طی آزمایش‌هایی روی سیب، هل و سیب زمینی دریافتند که با افزایش ضخامت نمونه، زمان پرواز به طور خطی افزایش یافته و سرعت امواج تغییر چندانی نمی‌کند. (Kim et al., 2004, Zaki Dizaji et al., 2009)

پس از انجام آنالیز مشخص شد که نخستین مود طولی هورن طراحی شده  $75/6 \text{ kHz}$  است که خطای حدود  $0/8$  درصد را نشان می‌دهد (شکل‌های ۷ و ۸). در حقیقت می‌توان گفت این روش، روشی مناسب برای هورن‌های با شکل پیچیده است و با استفاده از آن می‌توان انواع مودهای هورن را استخراج نمود که کاربردهای مختلفی دارند. بعد از طراحی، هورن مورد نظر ساخته و با استفاده از چسب روی تراکنتر نصب و نتایج آن با حالت بدون هورن مقایسه شد (شکل ۸).

### آزمون نخست: بررسی تراکنتر بدون هورن و دارای هورن در محیط هوای

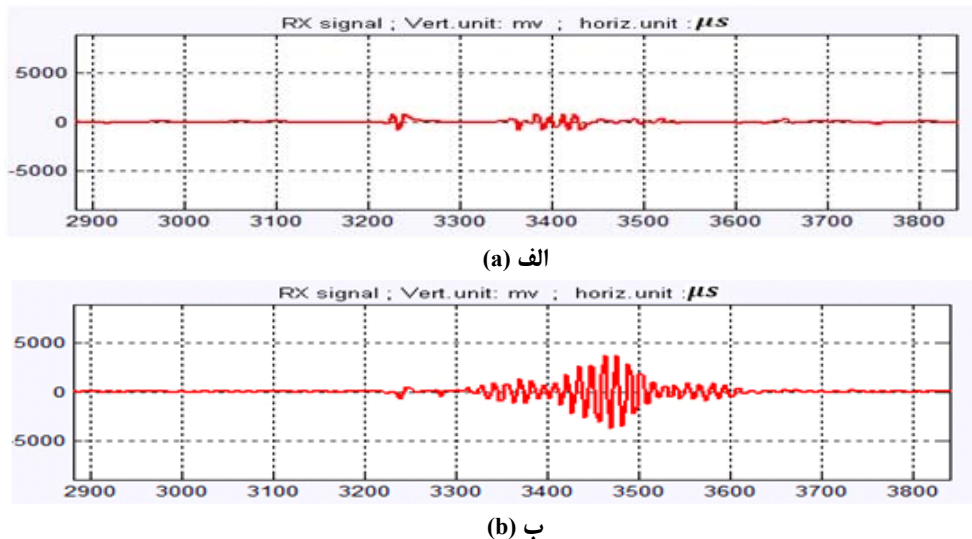
در این آزمون هورن‌های فرستنده و گیرنده در هوا روبروی یکدیگر قرار داده شدند. مشخص شد که سیگنال بسیار ضعیفی از هوا عبور می‌کند و با افزایش فاصله (تا  $2 \text{ mm}$ ) سیگنال مشاهده نشد. علت این امر اختلاف چگالی و سرعت امواج فراصوتی در آلومینیوم و هوا می‌باشد (جدول ۲). همانطور که پیش‌تر گفته شد با استفاده از رابطه‌ی (۱۱) نسبت انرژی‌های رفتی و برگشتی به دست می‌آید.

$$E_r = E_f \left[ \frac{2770 \times 5134 - 334 \times 1.285}{2770 \times 5134 + 334 \times 1.285} \right]^{\frac{1}{2}} \Rightarrow \frac{E_r}{E_i} \approx 1$$

### جدول ۲- خصوصیات فراصوتی آلومینیوم و هوا

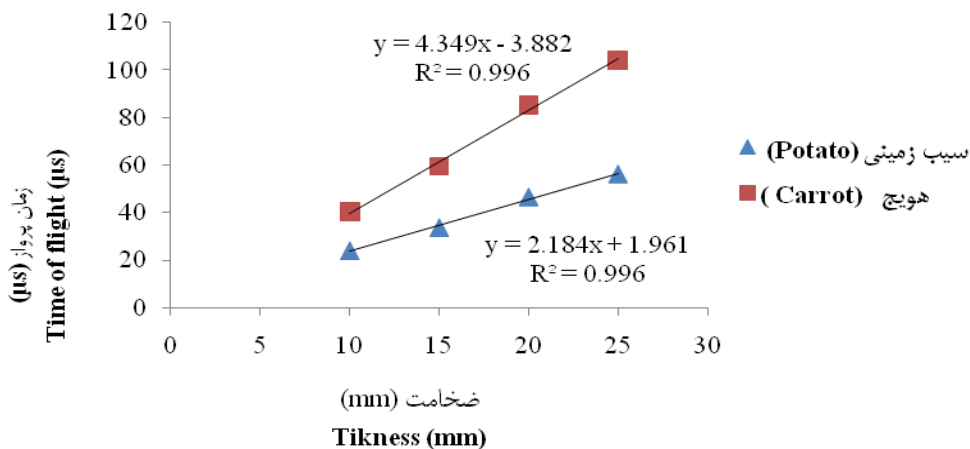
Table 2. Ultrasonic properties of air and aluminum

(kg m <sup>-3</sup> ) <b>(Density)</b>	سرعت امواج فراصوت (m s <sup>-1</sup> ) <b>(Velocity of ultrasonic wave)</b>	محیط <b>(Medium)</b>
2770	5134	آلومینیوم (Aluminum)
1.285	334	هوای (Air)



شکل ۹- سیگنال‌های عبور کرده از محیط (الف) هوا، (ب) هویج

Fig. 9. Signals transmitted through (a) Air, (b) Carrot sample



شکل ۱۰- رابطه بین ضخامت و زمان پرواز در تراگزد دارای هورن

Fig. 10. Relationship between sample thickness and time of flight using transducer with horn

جدول ۳- جدول تجزیه واریانس اثر ضخامت بر سرعت امواج فرماحت و زمان پرواز در حالت دارای هورن

Table 3. Anova table for the effect of thickness on ultrasonic velocity and time of flight in transducer with horn

میانگین مربعات (Mean of squares)				منابع تغییرات (Source of variation)
(Carrot) هویج		(Potato) سیب زمینی		
زمان پرواز (Time of flight)	سرعت امواج فرماحتی (Ultrasonic velocity)	زمان پرواز (Time of flight)	سرعت امواج فرماحتی (Ultrasonic velocity)	
33329.385**	11.335 <sup>ns</sup>	1058.83**	274.448 <sup>ns</sup>	بین گروهها (Between groups)
0.296	6.722	0.584	100.265	داخل گروهها (Within groups)

ns و \*\*، به ترتیب غیرمعنی دار و معنی دار در سطح احتمال ۰/۰۱

ns and \*\*, non-significant and significant at 0.01 level, respectively

با توجه به این آزمایش می‌توان گفت حتی در آزمون‌های مخرب فرماحتی که برای عبور سیگنال از محصول نیاز به برش آن و تهییه نمونه می‌پاشد، تراگزد دارای هورن بسیار مناسب‌تر است، چون علاوه بر سطح مقطع کمتر که امکان تهییه نمونه‌های بسیار کوچک و با قطر ۵mm را می‌دهد، ویژگی‌های فرماحتی را با دقت بیشتری اندازه‌گیری می‌کند. در تراگزد بدون هورن تهییه نمونه‌ها با قطر زیاد (برای مثال ۴۰mm در این تحقیق) و بافت یکسان از محصول ساده نیست، مانند هویج که در مرکز دارای بافت خشی است و جداسازی سیگنال عبوری از قسمت گوشته و مرکز مشکل است. ولی در تراگزد دارای هورن در هر نقطه از محصول می‌توان آزمون فرماحتی را انجام داد.

در کاوشنگر بدون هورن، نتایج حاکی از اختلاف معنی دار (P<0.01) بین ضخامت‌های مختلف از نظر سرعت امواج فرماحت است (جدول ۴). در نتیجه به جای آن که سرعت تقریباً ثابت بماند، مطابق شکل ۱۱ با افزایش ضخامت، سرعت روند صعودی داشت. از طرفی با تغییر ضخامت، تغییرات زمان پرواز نیز مطلوب نبود. یعنی در همه نمونه‌ها مطابق انتظار با افزایش ضخامت نمونه، زمان افزایش نیافت (شکل ۱۲). در حقیقت در نمونه‌های کم ضخامت، استفاده از تراگزد بدون هورن همراه با خطأ بوده و پراکندگی داده‌ها زیاد است، که علت آن اغتشاشات امواج منتشره در جلوی تراگزد فرستنده (ناحیه مرده درون ناحیه نزدیک) است. می‌توان گفت هورن مانند یک لایه تأخیرانداز عمل نموده و اغتشاشات را فیلتر کرده است (Mizrach et al., 1989).

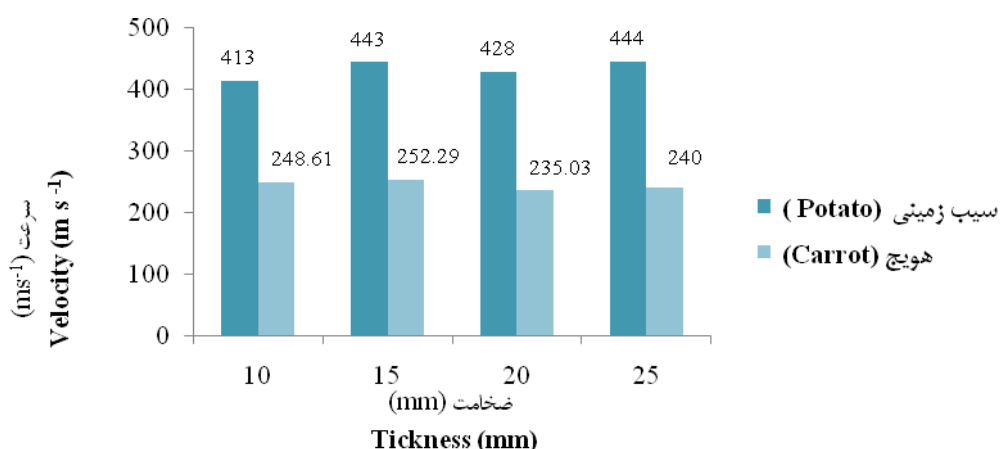
**جدول ۴**- جدول تجزیه واریانس اثر ضخامت بر سرعت امواج فرماصوت و زمان پرواز در حالت بدون هورن

**Table 4.** Anova table for the effect of thickness on ultrasonic velocity and time of flight in transducer without horn  
**(Mean of squares) میانگین مربعات**

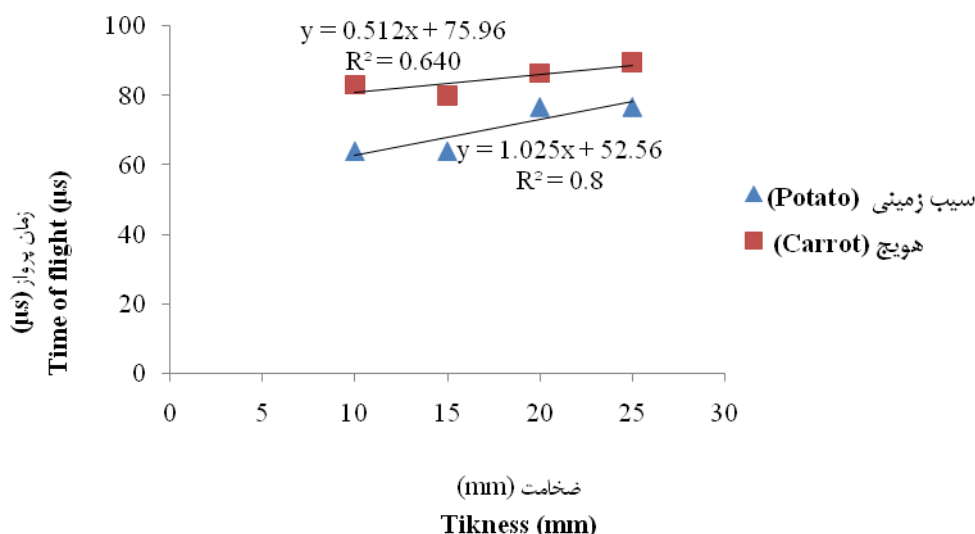
(Carrot) هویج		(Potato) سیب زمینی		منابع تغییرات (Source of variation)
زمان پرواز (Time of flight)	سرعت امواج فرماصوتی (Ultrasonic velocity)	زمان پرواز (Time of flight)	سرعت امواج فرماصوتی (Ultrasonic velocity)	
86.104**	22718.204**	275.29**	23878.24**	بین گروه‌ها (Between groups)
0.71	2.662	0.278	518.24	داخل گروه‌ها (Within groups)

\*\* معنی دار در سطح احتمال .۰۰۱

\*\*, significant at 0.01 level



شکل ۱۱- سرعت امواج عبوری در ضخامت‌های مختلف در حالت بدون هورن

**Fig. 13.** Effect of sample thickness on signal velocity using transducer without horn

شکل ۱۲- رابطه بین ضخامت و زمان پرواز در تراگذر بدون هورن

**Fig. 12.** Relationship between sample thickness and time of flight using transducer without horn

داد که در کاوش‌گر دارای هورن بین ضخامت‌های مختلف از نظر سرعت امواج فراصوتی در دو محیط سیب‌زمینی و هویج اختلاف غیرمعنی‌دار ( $P < 0.01$ ) و در کاوش‌گر بدون هورن این اختلاف معنی‌دار می‌باشد. به عبارت دیگر در کاوش‌گر دارای هورن در ضخامت‌های مختلف سرعت امواج ثابت است در حالی که در کاوش‌گر بدون هورن با تغییر ضخامت نمونه، سرعت تغییر می‌کند که مطلوب نیست. بنابراین می‌توان گفت تراگذر دارای هورن برای انجام آزمون‌های فراصوتی مناسب‌تر است.

### نتیجه‌گیری کلی

با توجه به تحقیق انجام شده مشخص شد که با استفاده از روش رایانه‌ای می‌توان هورن‌های بسیار پیچیده را با دقت بالایی طراحی کرد. در تحلیل تأثیر تعداد المان بر بسامد طبیعی معلوم شد که در تعداد کم المان، تحلیل با خطأ همراه است و تا جایی که بسامد طبیعی هورن تقریباً ثابت شود باید تعداد المان را زیاد کرد که در این تحقیق تعداد المان لازم ۳۰۰ بود. همچنین مقایسه بین روش نظری و رایانه‌ای نشان داد که روش رایانه‌ای خطای بسیار کمی (کمتر از یک درصد) داشته و نیاز به حل معادلات بسیار پیچیده ندارد. نتایج نشان

### منابع

1. Butz, P., C. Hofmann, and B. Tauscher. 2005. Recent developments in noninvasive techniques for fresh fruit and vegetable internal quality analysis. *Journal of Food Science*. 70 (9): 131-141.
2. Graham, G., J. N. Petzing, and M. Lucas. 1999. Modal analysis of ultrasonic block horns by ESPI. *Ultrasonics*, 37(2): 149-157.
3. Hedrick, R., L. Hykes, and E. Strachman. 2005. *Ultrasound physics and instrumentation*. Fourth edition. Elsevier Mosby.
4. Jullian, R. 1965. *Ultrasonic engineering*, John willy and Sons inc, USA.
5. Kim, K. B., H. M. Jung, M. S. Kim, and G. S. Kim. 2004. Evaluation of fruit firmness by ultrasonic measurement. *Advances in Nondestructive Evaluation*, Pt 1-3. Key Engineering Materials, 270-273. Trans Tech Publications Ltd., Zurich-Uetikon. 1049-1054.
6. Markov, A. 1966. *Ultrasonic machining of intractable materials*. Iliffe Books Ltd.
7. Merkulov, L. G. 1957. Design of Ultrasonic Concentrations, Soviet Physical Acoustics, 3: 230-238
8. Mizrach, A., U. Flitsanov, M. Akerman, and G. Zaberman. 2000. Monitoring avocado softening in low-temperature storage using ultrasonic measurements. *Comput. Electron. Agric.* 26: 199-207.
9. Mizrach, A., U., Flitsanov, R. El-Batsri, and C. Degani. 1999. Determination of avocado maturity by ultrasonic attenuation measurements. *Sci. Hortic.* 80:73-180.
10. Mizrach, A., N., Galili, G., Rosenhouse. 1989. Determination of fruit and vegetable properties by ultrasonic excitation. *Trans. ASAE* 32: 2053-2058.
11. Porteous, R. L., A. Y. Muir, R. L. Wastie. 1981. The identification of diseases and defect in potato tubers from measurements of spectral reflectance. *J. Agric. Eng. Res.* 26: 151-160.
12. Rose, J. L. 2004. *Ultrasonic Waves in Solid Media*. Cambridge university press. Cambridge. K.454.
13. Sarker, N., and R. R. Wolfe. 1983. Potential of ultrasonic measurements in food quality evaluation. *Trans. ASAE* 26: 624-629.
14. Subramanian, C.V. 2006. *Practical Ultrasonic*, Alpha science international Ltd, Oxford, UK.
15. Upchurch, B. L., G. E. Miles, R. L. Stroshine, E. S. Furgason, F. H. Emerson. 1987. Ultrasonic measurement for detecting apple bruises. *Trans. ASAE* 30:803-809.
16. Webster, A. G. 1919. Acoustical impedance, and the theory of horns and of the phonograph, Proc.Natl. Acad. Sci. USA, 5 (1919), pp. 275-282; reprinted in J. Audio Engineering Soc., 25(1977): 24-28.
17. Zaki Dizaji, H., S. Minaei, M. Mokhtary, and T. Tavakkoli Hashtjin. 2009. Development of an ultrasonic device for investigation of agricultural product quality. 6<sup>th</sup> International Postharvest Symposium. Antalya. Turkey.
18. Zhou G. P, Y. H, and B. F. Zhang Zhang. 2002. The complex-mode vibration of ultrasonic vibration systems. *Ultrasonics* 40: 907-911.